

Nonlinear Dispersive System

京大 基研 天島信男

§1 例題 2,3 の例

此處では分散効果が利いている場合の非線型波動の伝播を考へる。

般に波動伝播は双曲型偏微分方程式によって与えられる。例えは気体中の音波の方程式などがそれである。しかし気体分子間の衝突が頻繁に起つてなると、な場合に粘性効果が波動の伝播に利いてくる。此の場合には方程式に高階微分が入られ、双曲型ではなく抛物型となる。通常流体力学で用いられる方程式は大部分此のタイプのものである。しかし最近になって、衝突の平均自由行程が系の変化を表す特徴的な長さにくらべて充分長い場合に相当する稀薄アラスマに於ける波動伝播が問題とされるに至りて、またこの方程式がとりあげられた。此の場合には衝突は稀にしかおこらないので無視することができ、従って粘性のよき散逸項は入らない。散逸が存在しないことは方程式が時間及軸に対して不変であることを、つまり可逆であることを意味している。散逸項がないと方程式が高階微分を伴うことが成了。これは物理的には波の分散効果として知られている。このときには非線型波動の伝播はどうなったかが調べられる。さが分散効果が入らなければ 2,3 の場合を考へよう。

う。 分散効果がどう利くかを見るためには、線型近似をしたときの波分散式(振動数 ω と波数 k の関係式)を見るのが簡単である。

例1) イオン音波

アラスマに於けるイオン温度が電子温度に比べて小さく場合には、ハーモニクス音波の無いことが存在して、その分散式は

$$(1) \quad \omega = \sqrt{T_e/m_i} k$$

と書ける。ここで T_e は電子温度、 m_i はイオンの質量である。因子 $\sqrt{T_e/m_i}$ は音速に相当する。波の ω と k が(1)の如く比例關係にあることは、基本方程式が双曲型であることにに対応している。さて、(1)を導く際ににはアラスマが電気的に中性であることが仮定されているが、これは波の波長がデバイ半径よりにくらべて充分長いときには正しい。しかし波の波長が短くなるにつれて、中性の近似は悪くなり、荷電分離の影響を考慮する必要が生ずる。此の効果を入れると(1)は次のようになります。

$$(2) \quad \omega = \sqrt{T_e/m_i} k / (1 + k^2 \lambda_D^2)^{1/2},$$

ここで λ_D はデバイ半径。(2)は $k^2 \lambda_D^2 \ll 1$ の極限で(1)に移行するが、一般には $k^2 \lambda_D^2$ の項のために位相速度(ω/k)は小さくなっています。したがって初期値として与えられる wave packet は時間が経過とともに広がってゆき、(1)とは全く異なった伝播の様子を示す。

例2) 碰撞性音波

碰撞の率をアラスマが運動する場合、低振動数領域に音波があらわれる。此の場合、音速に相当するものは Alfvén 速度 v_A である。

$$v_A^2 = B_0^2 / (4\pi n_e m_i)$$

である。こゝで B_0 は磁場の強さ, n_0 はアラスマのイオン密度。もし、波が磁場に垂直に伝播するときには分散式は

$$(3) \quad \omega = v_A k / (1 + (c^2/\omega_{pe}^2) k^2)^{1/2}$$

となる。こゝで c は光速, ω_{pe} は電子のアラスマ振動数である。因子 $(1/\omega_{pe})^2$ は電子質量に比例している。したがつて此の場合には分散式の ω と k の直線関係からすれば電子の慣性効果によるものである。波が磁場に斜めに横切るときには、分散式は電子の慣性効果を無視しても

$$(4) \quad \omega = v_A k (1 + (\theta^2 c^2/\omega_{pi}^2) k^2)^{1/2}$$

のようにやはり直線関係からずれてくる。こゝで θ は磁場に垂直な方向と波の伝播方向とのなす角, ω_{pi} はイオンのアラスマ振動数である。こゝで (3) と (4) をくらべてみるとことは意味がある。(3) は (2) と同様に分散効果によつて波の位相速度が減少する傾向にあることを示すが, (4) は分散効果は全く正反対に位相速度を増やめてくる。このような事は碰気音波に対する有限 Larmor 半径の効果を序としても生じる。この場合に分散式は幾分複雑になるが、電子の慣性効果を無視すると、

$$(5) \quad \omega = v_A k \left\{ 1 + 8\pi P_e/B_0^2 + \frac{1}{16} \left(\frac{8\pi P_i}{B_0^2} \right)^2 \frac{c^2}{\omega_{pi}^2} k^2 \right\}^{1/2}$$

となる。こゝで P_e, P_i はそれぞれアラスマ及びイオンの圧力をある物事。(5) の k^2 の前の係数はイオンの平均の Larmor 半径の自乗に比例してゐるので、分散はまさにイオニア Larmor 半径が有限であることによつてくる。 ω と k の関係は (4) と同じであり、分散効果は位相速度とはやむでない。

以上の二つの例、イオン音波、碰気音波の線型近似から判るように、

電場中はかられ、電子の慣性効果、波の伝播方向に平行な磁場の影響、
Larmor半径が有限なことなどは物理的に分散効果として波動伝播
に作用する。それを特徴づける長さはそれが入る c/ω_{pe} , eC/ω_{pe} , $\beta_0 C/\omega_{pe}$ ($\beta_0 = P_0/(B_0 \gamma/8\pi)$) である。波長が此等の
長さにくらべて著しく大きくなる場合には分散効果は無視されない。

非線型波動について此の分散効果はどのように利くかは定性的に次の
ようになります。もし分散項がなければ、分散式(2)～(5)はそれそれ
波動伝播を特徴づける特性曲線の勾配と周期がある。分散項の存在は
それが k^2 に比例して下るのを、波形の曲率に応じて特性曲線の勾配が変化
することを意味している。したがって非線型項の右左によって波形が step
になってしまければ、分散項のために曲率の下る左の部分はその近傍にく
らべて遅れた速さで走る結果、波長の短い波が波頭の部分から其の後
へとくことにます。これは抵抗のある場合の波の伝播の様子と全く異つ
ります。以下、分散式(3)に相当する場合を詳しく序します。

3.2. 定常解

今後電子の慣性効果が存在する場合の磁気音波の性質を述べる。基
本方程式は、

$$(6) \quad \frac{\partial v}{\partial t} + \frac{3}{\partial x}(nu) = 0$$

$$(7) \quad \frac{\partial u}{\partial t} + u \frac{\partial}{\partial x} u = \frac{e/c}{m_i + m_e} v B$$

$$(8) \quad \frac{\partial v}{\partial t} + u \frac{\partial}{\partial x} v = \frac{m_i + m_e}{m_i m_e} e (E_y - \frac{v}{c} B)$$

$$(9) \quad \frac{\partial B}{\partial x} = - \frac{4\pi e}{c} m v$$

$$(10) \quad \frac{\partial B}{\partial t} + \frac{\partial E_y}{\partial z} = 0$$

ここで、波は X 軸の方向に伝播し、磁場は Z 軸の方向を向いています。電気的に中性であるとして、イオンと電子の密度は等しいとしてある。 n は電子密度、 u はその速度の X 成分、 v はイオンと電子の速度の Z 成分を表す、 B は磁場の強さ、 E_y は電場の Z 成分の強さ。方程式 (6) ~ (10) では変位電流は無視されてますが、此の近似と準中性近似では Alfvén 速度が光速に比べて充分小さいときには正しい。

ここで定常解を求めていますので $\frac{\partial}{\partial t}$ を含む項は 0 としよう。 $X \rightarrow -\infty$ の

$$(11) \quad \left\{ \begin{array}{l} u = U_0, \quad v = 0 \\ n = n_0, \quad B = B_0 \end{array} \right.$$

X 一定値によるような解を求めることにする。今方程式 (6) ~ (10) を無次元化しておこう。

$$n/n_0 \rightarrow n; \quad u/U_0 \rightarrow u,$$

$$B/B_0 \rightarrow B; \quad E_y/(U_0 B_0/c) \rightarrow E_y$$

$$x/(U_0 m_e c/e B_0) \rightarrow x,$$

を新しい変数で書くと、方程式 (6) ~ (10) は $(\frac{\partial}{\partial t} = 0)$ より

$$(12) \quad \frac{\partial}{\partial x}(n u) = 0$$

$$(13) \quad u \frac{\partial}{\partial z} u = v B.$$

$$(14) \quad u \frac{\partial}{\partial z} v = 1 - u B$$

$$(15) \quad \frac{\partial B}{\partial x} = -\frac{1}{A^2} n v$$

$$(16) \quad E_y = 1$$

境界条件 (11) は

$$(17) \quad n=1, u=1, v=0, B=1 \quad (x \rightarrow -\infty)$$

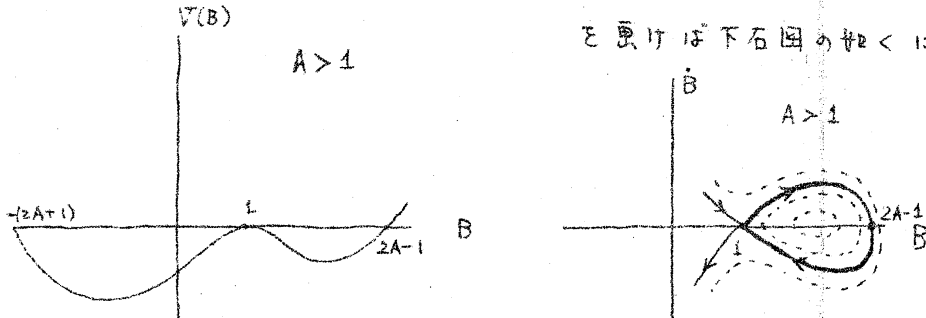
とする。方程式 (12) ~ (16) の積分は容易である。

$$(18) \quad u^2 \left(\frac{d^2 B}{dx^2} \right)^2 + \frac{1}{4A^4} (B-1)^2 \{ B+(2A+1) \} \{ B-(2A-1) \} = 0$$

を得る。あると (18) を書きかえて、

$$(19) \quad \begin{cases} \dot{B}^2 + V(B) = 0 \\ V(B) = \frac{1}{4A^4} (B-1)^2 \{ B+(2A+1) \} \{ B-(2A-1) \} \\ \dot{B} = u \frac{dB}{dx} \end{cases}$$

を得る。(19) は potential $V(B)$ の中で動く粒子の運動と同じ意味を持つ。V(B) は下図のように変化する。あると (B, \dot{B}) の位相平面上で解



実線で太く重ねたものは (19) 中の solitary wave は $\dot{x} = \pm \sqrt{\omega}$ で、それととりかこまれた内部の虚線群は非調和周期解に相当している。これは圖で断つてあるように $A > 1$ の場合に限つてある。 $A < 1$ のときは $V(B)$ のグラフは二回とも全く異つて $B=1$ のところで極小をもつようなく4次曲線になるので解としては周期解に相当するものしか存在しない。(此處で周期解というのは $B=1$ で $\dot{B} \neq 0$ のものに定められており、 $B=1$ で $\dot{B}=0$ のものは solitary wave は不是である。) A が大きくなると圖から判るように B の最大値 (= 振幅) は $1 < 3$ も大きくなる。

$$(20) \quad B_{\max} = 2A - 1$$

を得た。したがって、(13)を n でかけ、(12), (15)を用いて

$$u = t + \frac{1}{2A}(1-B^2)$$

を得た。したがって、 B_{\max} は相当大きな値を取ること、

$$(21) \quad u_{\min} = \frac{2-A}{A}$$

を得た。逆流がある場合の条件、 $u_{\min} > 0$ を考慮して A について制限が得られ、

したがって、

$$1 \leq A \leq 2$$

が得られた。これが solitary wave の存在する条件である。 $A \geq 2$ のときは、

これは複雑になる。 $\S 3$ では此の solitary wave の重要性が述べられる。

§ 3. 小振幅音波

この節では、有限時間内に小振幅音波の传播の問題を考究する。

非定常問題の方程式 (6)～(10)についての手順は既述したとおりである。

そこで、(6)～(10)に適当な展開を行っても、簡単な方程式に帰着しておく。

方程式 (6)～(10)を上と同様に無次元化して、

$$(22) \quad \frac{\partial n}{\partial t} + \frac{\partial}{\partial x}(nu) = 0$$

$$(23) \quad \frac{\partial u}{\partial t} + u \frac{\partial}{\partial x} u = vB$$

$$(24) \quad \frac{\partial v}{\partial t} + u \frac{\partial}{\partial x} v = E_1 - uB$$

$$(25) \quad \frac{\partial B}{\partial x} = -\frac{1}{A^2} nv$$

$$(26) \quad \frac{\partial B}{\partial t} + \frac{\partial E_1}{\partial x} = 0$$

§2 の議論で $A=1$ のときは完全に constant 分解が存在することが判つてゐる。 A が 1 に近いときには “ ϵ は constant” で十分であるが、その振幅は $(A-1)$ に比例して、更にその空間的分布が $\sqrt{A-1}$ に比例してゐる。波動伝播は、小振幅ときにはほほ線型のときと似たようになるよう考へれば、分散式(3)から $\epsilon(x-t)$, $\epsilon^3 t$ の scale transformation で線型方程式は不变に保たれることで、此の下を変換を行つてあれば解は ϵ による展開で求めることができると想像される。よって

(27)

$$A^2 = 1 + \epsilon^2$$

とし

(28)

$$\left\{ \begin{array}{l} \xi = \epsilon(x-t) \\ \tau = \epsilon^3 t \\ n = 1 + \epsilon^2 n''' + \epsilon^4 n'' + \dots \\ u = \epsilon^2 u''' + \epsilon^4 u'' + \dots \\ v = \epsilon^3 v''' + \epsilon^5 v'' + \dots \\ B = 1 + \epsilon^2 B''' + \epsilon^4 B'' + \dots \\ E_y = \epsilon^2 E_y''' + \epsilon^4 E_y'' + \dots \end{array} \right.$$

と展開して (22) ~ (26) を代入すると、1st order 量は 2 つだけは、

(29)

$$\left\{ \begin{array}{l} n''' = u''' = B''' = E_y''' \\ v''' = -n_{\xi\xi\xi}''' \end{array} \right.$$

を得る。更に n''' の方程式は

(30)

$$2n_{\tau\tau}''' + n_{\xi\xi\xi}''' + 3n'''n_{\xi\xi}''' + n_{\xi\xi\xi\xi\xi}''' = 0$$

を得る。此は適当に変換を施せば

(31)

$$y_{\tau\tau} + y_{\xi\xi} + \delta y_{\xi\xi\xi\xi\xi} = 0$$

という方程式になる。これは Kortweeg-de Vries 方程式と呼ばれ, Kruskal-Zabusky によって, 数値計算を用いてかなりくわしく調べられていく。

(31) は定常解として solitary wave solution をもつことが示され、
である。その explicit 形は

$$(32) \left\{ \begin{array}{l} y = y_0 \operatorname{sech}^2((x-y,t)/\Delta) \\ \Delta^2 = 12 \delta^2 / y_0 \end{array} \right.$$

となる。 (32) から判るように振幅の量は $\Delta \rightarrow$ solitary wave の量 \rightarrow 速度で伝わってゆく。(反対に、振幅の量 \rightarrow solitary wave を初期値として与えられるとそれらの散乱問題を手にることができます。) ここで
に数値計算を用いて、2個の量 \rightarrow solitary wave を交換せずして手にして
おくと、2個の solitary wave の間の非線型相互作用の問題を扱える。これ
は Kruskal - Zabusky によってなされ、その後非線型相互作用の発展後
は、初期値として 2 つ \rightarrow solitary wave と全く同じ形のものが用いられ
られることが示された。通常、非線型効果がよく働く場合には、Fourier
成分の高調波成分がつまづきに励起されたりして波形はくずれてゆくこ
とが信じられている。しかし (31) のような型の方程式ではある程度波形が
くずれても同じ状態に戻るという奇妙な性質がある。不幸にして (31)
は analytic に追跡することは未だ行われてはないので、それが如何なる理由によるものかは判つてない。しかし初期値として 2
 \rightarrow solitary wave 以外のものを与えたり(例えば正弦波)でも、
同じような性格は観察された。一方正弦波は非線型項により除され
て形を変えてゆき、その勾配が急に $t=0$ から $t=1$ で solitary wave
をつくるだけで、有限時間後には有限個の solitary wave の組に分解され

てしまう。そして一度 solitary waveができると、それらは常にのべた
ように重なり合ってこそでは波形は著しく変化すが、その後では最初と全
く同じ solitary waveに分れて、このようす散乱をつきつづけてくりかえ
してゆく。この数値計算によるふじろくべき性質は、nonlinear
dispersive system では solitary waveが何か基本的な波動としての
意味をもつてゐることを示してゐるかも知れない。

このことは衝裏波の問題でも見られる。Riemann 問題に対する解
を数値的に求めると、やはり衝裏波の波面のところでは solitary waveが
つくられ、 $\delta \rightarrow 0$ の極限ではあたかも衝裏波の波面は2つ存在するから
Fうに見える。この2つの波面の間では解は急激に振動してゐるのである。
このような衝裏波の構造は通常の微小拡張の衝裏波では決して予測されな
るものであった。この衝裏波の構造は、(31) の型の方程式に限らず、他の
nonlinear dispersive wave でも見られることが §4 で示さ
れ了。

§4 Dispersion limit は如何なる解を生ずるか。

方程式(31) の解の $\delta \rightarrow 0$ の極限はどのよきを示すかは非常に興
味がある。よく知られてゐるようす双曲型方程式

$$(33) \quad y_t + yy_x = 0$$

の解は、初期値が y を含めかかる函数であつても有限時間後には解は不連続
となりて以後は解は意味をもたなくなつてしまふ。しかし方程式(33)を行
かの意味でひいて、不連續解も解として認めるようにしておけば（(33) の
weak solution）その解も含めて解の存在、一意性についても議論を行ふこと

が可能となる。物理的にはこの振舞は、多くの人によって説かれてきた。うに、耗散効果が非常に小さいときの極限 (dissipative limit) としてうえることはできる。つまり

$$(34) \quad Y_t + Y Y_x = \nu Y_{xx}$$

という方程式 (Burgers Equation) の解で $\nu \rightarrow 0$ の極限で (33) の解を求えるという立場である。幸いなことに方程式 (34) の解は解析的に求めることができ、その極限につれても理解しやすくある。しかし、その場合にはすべての物理系には何からか散逸効果が存在しているということが議論の背景にある。じつは巨視的変化を序とした場合にはこの立場は正しいかもしれないが、もし分散効果を実行して、更に $\nu \rightarrow 0$ をとったように散逸効果が分散効果にくらべて小さくなる場合には極限の方は大とう危険になる。おそらく分散効果と $\nu = 0$ にて散逸効果を後で 0 にするより本場合には極限は dissipative limit に変りはまつ。しかし後に散逸効果と 0 にして分散効果を後で 0 にするより本極限を序するときの場合には話は全く異なってくる。この事情は多く後の部分で Riemann 問題に対する数値解のふるまいによつて予測することができます。通常の dissipative limit では此は不連続面がたゞ一つ (この不連続面は衝撲波面の前後の要つて constant state をすりつけける) 存在するにすぎないが、 dispersive limit では不連続面は2つ存在して、その間では非常に激しく振動している。じつはに此のような性質を (37) の方程式と少し異ったモデルでしらべてみると事ができる。モデル方程式を

$$(35) \quad n_t + (n u)_x = 0$$

$$u_t + uu_x = \epsilon^2 \left(\frac{2}{\sqrt{n}} (\bar{m})_{xx} \right)_x$$

とすれば、この方程式は analytic にてて、しかも散逸効果は全く存在せず、高階微分は分散効果しか含まないことが判る。この方程式は Burgers Equation は (35) で

$$y = u - i\epsilon(\log n)_x$$

とすれば

$$(36) \quad y_t + yy_x = i\epsilon y_{xx}$$

となることから密接な関係にあることが知れる。すなはち (34) の代りに $i\epsilon$ をおいたものが (36) であり、(35) は (36) を不等式つけられていて、したがって (36) が analytic に従う得るならば、(35) も全く同様に従う得るのである。つまり (34) は適当な変換で拡散係数 ν をもつ拡散方程式に帰着されたが、(36) はやはり同じよう不等式で Schrödinger 方程式になってしまふ。このようにして、analytic にてて従う非線形分散波動のモデル方程式とつくことがわかった。

ついで、不等式 (35) は solitary wave 型の定常解を持つていて、(35) の非調和周期解と定常解とは必ずしもつぶりである。その $T=0$ solitary wave の生成、それらの相互作用をしきべることはできぬが、Riemann 問題につけての limit の問題にこたえることは可能である。ついで (35) を用ひて (37) にて、衝撲波と不連続面はつ存在する事が判る。そしてその間では解は引げしく振動しており、数値計算からの予測を完全にうらがきしている。しかも面白いことに、(35) と (36) は

むすび 2

$$(37) \quad Y_t + Y_{tz} = (\nu + i\epsilon) Y_{xx}$$

の解の極限をしきべると ν/ϵ の比が一定 ($= c^2 - |\nu + i\epsilon| \leq 0$) のとき
の極限では $\nu/\epsilon \neq 0$ ならば極限は常に dissipative limit (= 3) と
いうことである。 $\nu/\epsilon = 0$ のときはその極限は全く異なつてゐる
とする。このように考へたならば、非線型効果で波面の勾配が急 ($= \gamma$)
である場合は衝突の影響を考慮せねばならないことには重要な
かも知れぬことを意味するようと思われる。

ところで、この nonlinear dispersive wave に対する研究は
未だ始まらねばならぬのである。多くの問題がまだ未解決である。ことに
ことを注意して最後に文献表をあたえておく。

§5. 文献

§1 イのべて plasma 中の波動の分散式 (\Rightarrow 117 15)

1) T.H. Stix : The Theory of Plasma Waves (McGraw-Hill Book Co.) 1962.

イオン音波の非線型性 (\Rightarrow 117 15).

2) S.S. Moiseev and R.Z. Sagdeev : J nuclear Energy Part C 5 (1963) 43

3) A.A. Vodenov, E.P. Velikhov and R.Z. Sagdeev : Conf. on Plasma Physics
and Controlled Nuclear Fusion Research, Salzburg (1961)

4) N. Yajima, T. Taniuti and A. Ono : Journal of Phys. Soc. Japan 21 (1968)

757

5) H. Washimi and T. Taniuti : Phys. Rev. Letters 17 (1966) 996

非線型 MHD 波は 11215.

- 6) Adlam and J.E. Allen : Phil. Mag. 3 (1958) 448
- 7) A. Barrios and A.R. Vernon : Nuovo. Cimento. 15 (1960) 269
- 8) L. Davis, R. Lust and A. Schlüter : Z. Naturforsch. 13a (1958) 916
- 9) C.S. Gardner and G.K. Morikawa : New York Univ., Courant Inst. Math. Sci., Res. Rep. TID-6184 (1960)
- 10) C.S. Gardner and G.K. Morikawa : Comm. Pure Appl. Math., 18, (1965) 35.

斜めに伝播する MHD 波は

- 11) Yu.A. Berezin and V.I. Karpman ; Sov. Phys. JETP. 19 (1964) 1265
- 有限 Larmor 半径の効果は

- 12) N. Yajima : Prog. Theor. Phys. 36, (1966) 1.

Korteweg-de Vries 方程式は 11215,

- 13) J.B. Keller, Comm. Pure Appl. Math., 1 (1948) 323.

- 14) Kortweg D.J., and G. de Vries ; Phil. Mag. 29, (1895) 422.

- 15) I.I. Zabrusky and M.D. Kruskal : Phys. Rev. Letters 15 (1965) 240.

Burgers 方程式は 11215.

- 16) E. Hopf ; Comm. Pure Appl. Math.; 3 (1950) 201

Dispersive limit は 11215

- 17) N. Yajima, A. Culi and T. Taniuti ; Prog. Theor. Phys. 35 (1966) 1142.

Dispersive System の漸近的方程式は 11215

- 18) G.B. Whitham ; Proc. Roy. Soc. 283A (1965) 238

- 19) J.C. Luke ; Proc. Roy. Soc. (1966)

- 20) G.B. Whitham ; J. Fluid Mech. 22, 273